

様な放射能のピークを示し、20min後にはほとんど定常値に達している。このように、予期されたとはいえ、I.Sを行わない場合には60t電炉内の鋼浴の均一化には極めて長時間を要することがわかつた。

#### IV. 結 言

<sup>198</sup>Auを固溶もしくは埋込んだフェロアロイを使用し、ASEA式誘導攪拌による60t電炉内の鋼浴の均一化所要時間を求めたところ、鋼浴の均一化には4~5min約500gの単位のFe-Moの溶解と均一化には5~6min1t以上のFe-Crと同時に装入した単重6kgのFe-Moの溶解と均一化には9~10minを要し、一方誘導攪拌を行わないときはFe-Mo投入後20min後においてもいちじるしく不均一であることがわかつた。

#### 文 献

- 1) 錦織、他：鉄と鋼、43(1957), p. 1043
- 2) 伊藤、他：鉄と鋼、47(1961), p. 1402
- 3) HANAS: NEVE HUFFE, 5(1960), p. 323
- 4) 森、他：鉄と鋼、50(1964) 10, p. 1411

669.14.01824:669.046.585.7:669.046.566.72  
:621.746.589

#### (91) 軸受鋼の合成鋼滓処理

日本特殊、鋼製鋼部 工博 出 口 喜勇爾  
" NO.64253

○吉村 誠恒・湯浅 倍郎

The Synthetic Slag Treatments on Ball Bearing Steel. pp 1780 ~ 1782

Dr. Kiyoji DEGUCHI, Masatsune YOSHIMURA and Goro YUASA.

#### I. 緒 言

軸受鋼ほど、鋼中の非金属介在物の組成や量が論議される鋼はない。軸受の耐用寿命を決定する因子の一つとして非金属介在物が重視され<sup>1,2)</sup>、そのため巨視的介在物(砂疵、地疵)、微視的介在物(顕微鏡的介在物)の溶鋼起因か耐火物起因かの考察、それに基づく拡散脱酸法(カーバイト滓)、強制脱酸法(白滓)さらに脱酸剤の種類と量が研究され、世界各国各社各様の溶解方法を採用しているのが現状である。また特殊法としては真空脱酸法<sup>3,4)</sup>、溶融合成鋼滓による精錬<sup>5)</sup>、エレクトロスラグ法<sup>6)</sup>、真空溶解法<sup>7)</sup>などがある。今回はこれら軸受鋼の品質向上を目的とし、溶融鋼滓で溶鋼の洗滌作用を行う溶融鋼滓による取鍋処理法とエレクトロスラグ法との実験結果を比較したところを報告する。

#### II. 溶融合成鋼滓による取鍋処理法

この方法は炉中の精錬を簡略化して取鍋処理により迅速に良質な鋼を生産する事を目的にしているが、今回実施したのは炉中の精錬脱酸は普通に行ない、この特殊処理で介在物(砂疵、顕微鏡的介在物)の量が普通溶解材に比してどうなるかを調査した。

鋼の溶解は15Ton電気炉(4,500KVA)にてTable 1に詳細を示したごとき白滓下で強制脱酸して溶製した。

出鋼直前に還元期鋼滓を炉外に排出し、合成溶融鋼滓をあらかじめ入れてある取鍋に出鋼し鎮静のため10min

Table 1. Heat log of ball bearing steel.

No. 543

Time	Operation	Remarks
13:00	Melt down	C 1.07; Mn 0.32; Cr 0.35; P 0.023
13:15	Oxygen blow	28 Nm <sup>3</sup> , Ore 300 kg
13:20	Check of bath contents	C 0.75; Mn 0.27; Cr 0.40; P 0.015
13:22	Bath temp.	1650°C by immersion thermocouple
13:47	Started removing slag	
13:55	Added reducing slag	Lime 200 kg; Spar 20 kg; fine coak 50 kg
14:03	Added alloys	CaSi 20 kg; FeSi 25 kg; FeMn 10kg; FeCr 250kg
14:15	Check of bath contents	C 0.84; Mn 0.25; Si 0.19; Cr 1.22
14:35	Add balance of alloys	FeSi 20 kg; FeMn 25 kg; FeCr 70 kg; Carbon agent 50 kg
	Bath temp.	1600°C
15:00	Slag off	1580°C, C 0.99; S 0.013
15:03	Tapping	7 kg Al
15:17	Teeming	R 1 Ton ingot Total weight poured 16,520 kg
	Ladle analysis	C 1.03; Si 0.27; Mn 0.35; P 0.007; S 0.009; Cr 1.43

No. 546

Time	Operation	Remarks
8:15	Melt down	C 1.17; Mn 0.39; Cr 0.44; P 0.027
8:32	Oxygen blow	32 Nm <sup>3</sup> , Ore 300 kg
8:40	Check of bath contents	C 0.72; Mn 0.18; P 0.010
9:00	Bath temp.	1660°C
9:05	Started removing slag	
9:05	Added reducing slag	Lime 200 kg; Spar 20 kg; fine coak 60 kg
9:09	Added alloys	CaSi 20 kg; FeSi 25 kg; FeMn 10kg; FeCr 200kg
9:23	Check of bath contents	C 0.83; Mn 0.20; Si 0.19; Cr 1.20
9:40	Add balance of alloys	FeSi 25 kg; FeMn 25 kg; FeCr 75 kg Carbon agent 52 kg
	Bath temp.	1610°C
10:00	Slag off	1590°C, C 1.01; S 0.012
10:03	Tapping	Al 7 kg
10:17	Teeming	R 1 Ton ingot Total weight poured 15000 kg
	Ladle analysis	C 1.01; Si 0.24; Mn 0.29; P 0.011; S 0.008; Cr 1.53

間保持した後注型した。

合成鋼滓の溶解は休止中の8Tons電気炉(3000KVA)を利用した。Fig. 1に示したごとく炉床、炉堤、炉樋を黒鉛板で組立て、炉壁はマグークロ煉瓦、天蓋はクローマグ煉瓦にし築造した。

取鍋中に注入する合成鋼滓の量は溶鋼量の約6%に当

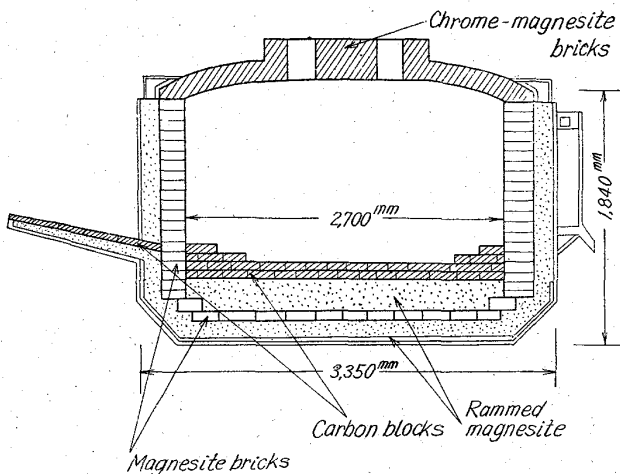


Fig. 1. Lining of a furnace for melting lime-alumina slag.

Table 2. The chemical composition of the synthetic slag before and after treatment.

		CaO	Al <sub>2</sub> O <sub>3</sub>	SiO <sub>2</sub>	MgO	FeO
543	Before	48.28	47.00	3.83	0.98	0.51
	After	51.13	36.00	8.60	2.95	0.46
546	Before	49.05	47.25	3.05	0.98	0.44
	After	46.11	39.05	10.15	3.92	0.36

る 1 ton を予定した。鋼滓溶解炉に石灰 1,500 kg, アルミナ 1,500 kg を装入し通電溶融した。

合成鋼滓の処理前後の化学成分を Table 2 に示す。

処理前後の合成鋼滓組成の変化のうち SiO<sub>2</sub> と MgO の上昇は鋼溶製炉の鋼滓を出鋼前に除滓しているが完全でなく鋼とともに取鍋に入つたためである。

合成鋼滓処理による脱硫効果であるが処理前後の鋼中の硫黄含有量を Table 3 に示した。

脱硫率 30~40% という顯著な脱硫効果が認められた。一方処理後の鋼滓がカーバイト臭強いため鋼中の炭素含有量の変化をしらべたが判然とはしなかつた。

処理鋼塊を圧延後試料を切取り(圧延寸度-3) mm 1段削りをし長さ 63 mm の被検面に発生した砂疵の個数を調査した。その成績を Table 4 に示す。

Table 中の 1mm の砂疵とは 0.5 mm~1 mm の範囲、2mm の砂疵とは 1.1~2.0 mm の範囲のものである。普通溶解材の平均値は 1 mm の砂疵が 2.3 個、2 mm の砂疵が 0.1 個であるから、合成鋼滓処理材は普

Table 3. The sulfur content of steel before and after treatment.

		S %	Degree of desulphurization
543	Before	0.013	46.2%
	After	0.007	
546	Before	0.012	33.4%
	After	0.008	

Table 4. The results of sand mark.

No.	543 rolled size $\phi 150$ (F.R. 6.9)	No.	546 rolled size $\phi 130$ (F.R. 9.2)
1	mm 1 × 10	1	mm 1 × 7
2	1 × 7	2	1 × 15
3	1 × 3	3	1 × 6
4	1 × 3	4	1 × 3 10 × 1
5	1 × 4	5	1 × 7
6	1 × 4	6	1 × 7 2 × 1
7	1 × 2	7	1 × 7 2 × 3
8	1 × 2	8	1 × 4

Table 5. The results of non-metallic inclusion.

	A type	B+C type	Total
543	1 0.008 0.017	0.008 0.008	0.017 0.025
	2		
546	0.008	0.008	0.017

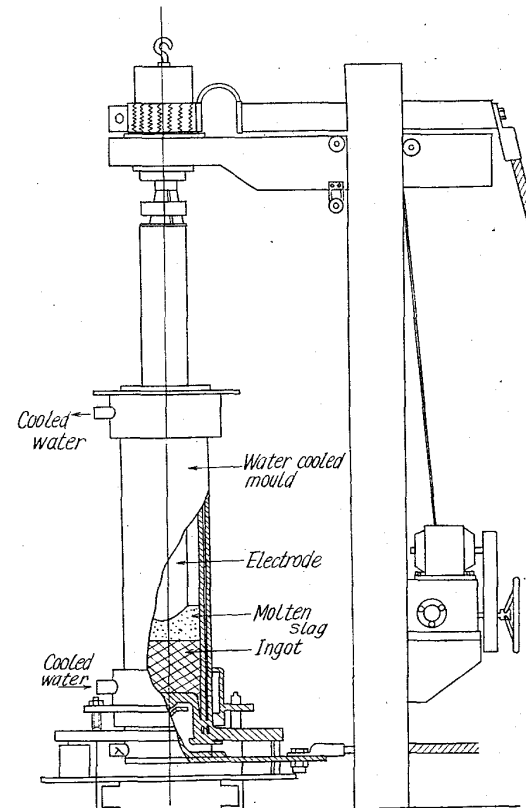


Fig. 2. Electro slag remelting apparatus.

通溶解材に比して成績が優れて居るとは言えず、特に 546 のなかに 10 mm のものが発生したのは見逃せない。

JIS 法で測定した非金属介在物の量を Table 5 に示す。

砂疵成績に比して非金属介在物の成績は普通材に比し

Table 6. Chemical composition of steel before and after electroslag remelting.

	C	Si	Mn	P	S	Cr
Before	1.02	0.35	0.38	0.014	0.012	1.39
After	1.01	0.34	0.39	0.013	0.007	1.38

Table 7. The results of sand mark.

	Electro slag remelting	Mother
1 step	1 × 1	1 × 11 3 × 2 7 × 1
2 step	None	1 × 2
3 step	None	None

Table 8. The results of non-metallic inclusion.

	A type	B+C type	Total
Mother	0.017	0.013	0.029
Electro	0.004	0	0.004
Slag	0.004	0.004	0.008
Remelting	0.004	0.004	0.008

て非常に良好であった。特にA型介在物が激減した。普通材の非金属介在物の平均値はA型0.030%, B+C型0.012%である。

### III. エレクトロスラッグ法

1 ton 電気炉(600 kVA)を改造し Fig. 2 に示すごとき装置で試験を行った。水冷鋳型の内径はφ160mm, 長さは820mmで、鋼塊重量は100kgである。再溶解する母材はφ100mmの圧延材をφ90mm, 長さ2,400mmに機械加工したものである。使用した造漿剤はCaF<sub>2</sub>70%, Al<sub>2</sub>O<sub>3</sub>30%で、4kg使用した。

電圧55V, 電流2,000~2,500Aで溶解した。エレクトロスラッグ溶解前後の鋼の化学成分を比較するとTable 6のごとくなる。

成分変動は認められず、ただ硫黄含有量が減り前項の取鍋処理法と同等の脱硫作用が確認された。

エレクトロスラッグ溶解で作った鋼塊(直径φ155mm)の片側2mm表面皮削した面には、のろ噛みのごときものは1個も存在しなかつた。それをφ25(F.R.41)に鍛伸し、3段削を行い、長さ63mmの被検面の砂疵をしらべた。結果をTable 7に示す。比較のため母材(φ25)の砂疵成績も併せ記した。

砂疵成績はエレクトロスラッグ溶解を行うことによりいちじるしく良くなることがわかつた。顕微鏡にて非金属介在物をJIS法により評価した結果をTable 8に示す。

非金属介在物もほとんど0に近く非常に清浄な鋼が作られる事がわかつた。

### IV. 結 言

1) 合成鋼淬取鍋処理によつて脱硫作用は認められるが砂疵成績は向上しない。しかし非金属介在物特にA型介在物が減少する。

2) これに比し、エレクトロスラッグ再溶解によつては、脱硫作用は大体同等の脱硫効果が、砂疵成績はいちじるしい向上が、非金属介在物はA系のみならずB+C系もほとんど0になるほどの清浄化が、認められた。

### 文 献

- 1) Metal Progress April (1964), p. 156~158
- 2) J. D. MURRAY, R. F. JOHNSON: I. S. I. spec. rept. 77 (1963), p. 110~118
- 3) G. N. OIKS, P. P. MATEVOSIAN, G. A. SOKOLOV: STAL in English April (1960) p. 246~250
- 4) J. HEWITT: I. S. I. spec. rept. 77 (1963) p. 70~72
- 5) S. G. VOINOV, A. N. KORNEENKOV, A. K. PETROV: STAL in English June (1960), p. 489~495
- 6) Yu. A. SHUL'YE, A. F. TREGUBENKO, U. F. SMOLGAKOV: STAL in English Jan (1960) p. 37~41
- 7) L. O. UHRUS: I. S. I. spec. rept. 77 (1963) p. 104~109

669.187.455.25

### (92) 塩基性電弧炉の還元期における拡散脱酸について

日本製鋼所, 室蘭製作所 10.64.25.4

池見恒夫・岩田健宏・○原 貞夫  
On the Diffusion Deoxidation in Reducing Period of the Basic Electric Arc Furnace. pp 1782~1784

Tsuneo IKEMI, Yasuhiro IWATA  
and Sadao HARA

### I. 緒 言

最近における塩基性電弧炉製鋼法の発展はめざましく大型電弧炉の建設が相次いでいる。これは還元精錬が可能な電弧炉は清浄な高級鋼を製造するのに適しているからである。

塩基性電弧炉の拡散脱酸の機構はO<sub>2</sub>を多量に含む溶鋼にFeOの少ない鋼滓を接触せしめ、保持することにより溶鋼中のO<sub>2</sub>をFeOとして鋼滓中に拡散移動せしめることにある。しかし、大型電弧炉では還元期の脱硫が予想以上に少ないとから実際には拡散脱酸の効果は少ないのではないか。また、強制脱酸などに比して反応速度の点から長時間を要しなければならないのではないかなどの疑問が生じてくる。

根本的に、この時期の溶鋼中の酸素量が鋼滓中のFeOとの平衡によつてどの程度影響されるか、また、効果的な拡散脱酸を得るための適当な保持時間、その他攪拌などの特殊な操作の必要性およびそれに伴う水素の増加などほとんど経験的考察の範囲を出ず、理論的解明があまりなされてないのが現状である。

以上の諸点を考えることにより実際作業において採取された試料について拡散脱酸の効果について検討を加えた。